

1 Отражение и преломление волн на свободной границе

Определение Будем называть колебания установившимися, если поле перемещений представимо в виде:

$$u_i(x; t) = u_i(x)e^{-i\omega t},$$

где ω — частота колебаний.

Рассмотрим модельную задачу о падении волны на границу полуплоскости. Будем считать, что полуплоскость совершает установившиеся колебания в состоянии плоской деформации.

$$\begin{cases} u_1 = u_1(x_1, x_2)e^{-i\omega t}, \\ u_2 = u_2(x_1, x_2)e^{-i\omega t}, \\ u_3 = 0 \end{cases} \quad (1)$$

Продольный и поперечный потенциалы удовлетворяют уравнениям Гельмгольца вида

$$\begin{cases} \varphi_{,11} + \varphi_{,22} + k_1^2\varphi = 0, \\ \psi_{,11} + \psi_{,22} + k_2^2\psi = 0, \end{cases} \quad (2)$$

где

$$k_1^2 = \frac{\rho\omega^2}{\lambda + 2\mu}, \quad k_2^2 = \frac{\rho\omega^2}{\mu}.$$

При этом вектор $\underline{\psi}$ состоит из единственной компоненты

$$\underline{\psi} = \{0, 0, \psi\}$$

и

$$\text{rot}\underline{\psi} = \begin{vmatrix} \underline{e}_1 & \underline{e}_2 & \underline{e}_3 \\ \partial_1 & \partial_2 & \partial_3 \\ 0 & 0 & \psi \end{vmatrix} = \psi_{,2}\underline{e}_1 - \psi_{,1}\underline{e}_2$$

Представление Ляме приобретает вид:

$$\begin{cases} u_1 = \varphi_{,1} + \psi_{,2}, \\ u_2 = \varphi_{,2} - \psi_{,1}, \end{cases} \quad (3)$$

Из бесконечности на свободную границу падает продольная плоская волна под углом θ . Выражение для неё имеет вид:

$$\begin{cases} \varphi^{(1)} = e^{ik_1(x_1 \cos \theta + x_2 \sin \theta)}, \\ \psi^{(1)} = 0, \end{cases} \quad (4)$$

Амплитуда продольной волны равняется единице и выражения для падающей волны удовлетворяет уравнениям (2). Выражение для отражённой волны имеет вид:

$$\begin{cases} \varphi^{(2)} = Ae^{ik_1(x_1 \cos \theta_1 - x_2 \sin \theta_1)}, \\ \psi^{(2)} = Be^{ik_2(x_1 \cos \gamma - x_2 \sin \gamma)}, \end{cases} \quad (5)$$

Продольная волна отразилась под углом θ_1 , поперечная – под углом γ , A и B – неизвестные константы. Используя представление Ляме, найдём поле перемещений:

$$\begin{aligned} \varphi &= \varphi^{(1)} + \varphi^{(2)} = e^{ik_1(x_1 \cos \theta + x_2 \sin \theta)} + Ae^{ik_1(x_1 \cos \theta_1 - x_2 \sin \theta_1)}, \\ \psi &= \psi^{(1)} + \psi^{(2)} = Be^{ik_2(x_1 \cos \gamma - x_2 \sin \gamma)}, \end{aligned}$$

$$\begin{aligned} u_1 &= \varphi_{,1} + \psi_{,2} = ik_1 \cos \theta e^{ik_1(x_1 \cos \theta + x_2 \sin \theta)} + Aik_1 \cos \theta_1 e^{ik_1(x_1 \cos \theta_1 - x_2 \sin \theta_1)} - \\ &\quad - Bik_2 \sin \gamma e^{ik_2(x_1 \cos \gamma - x_2 \sin \gamma)} \\ u_2 &= \varphi_{,2} - \psi_{,1} = ik_1 \sin \theta e^{ik_1(x_1 \cos \theta + x_2 \sin \theta)} - Aik_1 \sin \theta_1 e^{ik_1(x_1 \cos \theta_1 - x_2 \sin \theta_1)} - \\ &\quad - Bik_2 \cos \gamma e^{ik_2(x_1 \cos \gamma - x_2 \sin \gamma)} \end{aligned} \quad (6)$$

Верхняя граница полуплоскости свободна от напряжений:

$$\begin{cases} \sigma_{12}|_{x_2=0} = \mu (u_{1,2} + u_{2,1})|_{x_2=0} = 0 \\ \sigma_{22}|_{x_2=0} = [\lambda (u_{1,1} + u_{2,2}) + 2\mu u_{2,2}]|_{x_2=0} = [\lambda u_{1,1} + (\lambda + 2\mu) u_{2,2}]|_{x_2=0} = 0 \end{cases} \quad (7)$$

Найдём касательное напряжение:

$$\begin{aligned} \sigma_{12}|_{x_2=0} = & \mu \left(-k_1^2 \cos \theta \sin \theta e^{ik_1 x_1 \cos \theta} + Ak_1^2 \cos \theta_1 \sin \theta_1 e^{ik_1 x_1 \cos \theta_1} \right. \\ & - Bk_2^2 \sin^2 \gamma e^{ik_2 x_1 \cos \gamma} - k_1^2 \cos \theta \sin \theta e^{ik_1 x_1 \cos \theta} + Ak_1^2 \sin \theta_1 \cos \theta_1 e^{ik_1 x_1 \cos \theta_1} + \\ & \left. + Bk_2^2 \cos^2 \gamma e^{ik_2 x_1 \cos \gamma} \right) \end{aligned} \quad (8)$$

или

$$\begin{aligned} \sigma_{12}|_{x_2=0} = & \mu \left[-2k_1^2 \cos \theta \sin \theta e^{ik_1 x_1 \cos \theta} + 2Ak_1^2 \cos \theta_1 \sin \theta_1 e^{ik_1 x_1 \cos \theta_1} \right. \\ & \left. + Bk_2^2 (\cos^2 \gamma - \sin^2 \gamma) e^{ik_2 x_1 \cos \gamma} \right] \end{aligned} \quad (9)$$

Найдём нормальное напряжение:

$$\begin{aligned} \sigma_{22}|_{x_2=0} = & \lambda \left(-k_1^2 \cos^2 \theta e^{ik_1 x_1 \cos \theta} - Ak_1^2 \cos^2 \theta_1 e^{ik_1 x_1 \cos \theta_1} + \right. \\ & \left. + Bk_2^2 \sin \gamma \cos \gamma e^{ik_2 x_1 \cos \gamma} \right) + (\lambda + 2\mu) \times \left(-k_1^2 \sin^2 \theta e^{ik_1 x_1 \cos \theta} - \right. \\ & \left. - Ak_1^2 \sin^2 \theta_1 e^{ik_1 x_1 \cos \theta_1} - Bk_2^2 \sin \gamma \cos \gamma e^{ik_2 x_1 \cos \gamma} \right) \end{aligned} \quad (10)$$

или

$$\begin{aligned} \sigma_{22}|_{x_2=0} = & -k_1^2 \left[\lambda \cos^2 \theta + (\lambda + 2\mu) \sin^2 \theta \right] e^{ik_1 x_1 \cos \theta} - \\ & - Ak_1^2 \left[\lambda \cos^2 \theta_1 + (\lambda + 2\mu) \sin^2 \theta_1 \right] e^{ik_1 x_1 \cos \theta_1} - 2\mu Bk_2^2 \sin \gamma \cos \gamma e^{ik_2 x_1 \cos \gamma} \end{aligned} \quad (11)$$

При $x_2 = 0$ мы имеем два условия для определения неизвестных, в то время как неизвестными являются A , B , θ_1 и γ . Условия (7) могут выполняться только если показатели экспонент — одинаковые. Это приводит нас к равенству

$$ik_1 x_1 \cos \theta = ik_1 x_1 \cos \theta_1 = ik_2 x_1 \cos \gamma,$$

следовательно

$$\theta = \theta_1,$$

$$k_1 \cos \theta_1 = k_2 \cos \gamma.$$

Получаем уравнение для определения угла γ :

$$\cos \gamma = \frac{k_1}{k_2} \cos \theta \quad (12)$$

Вспоминаем определения k_1, k_2 :

$$\frac{k_1}{k_2} = \sqrt{\frac{\rho}{\lambda + 2\mu}} / \sqrt{\frac{\rho}{\mu}} = \sqrt{\frac{\mu}{\lambda + 2\mu}} < 1,$$

Следовательно, правая часть (12) всегда меньше единицы и уравнение (12) всегда имеет вещественное решение. Сократим ненулевые экспоненциальные множители в (7) и получим:

$$\begin{cases} -2k_1^2 \cos \theta \sin \theta + 2Ak_1^2 \cos \theta \sin \theta + Bk_2^2 (\cos^2 \gamma - \sin^2 \gamma) = 0 \\ -k_1^2 [\lambda \cos^2 \theta + (\lambda + 2\mu) \sin^2 \theta] - Ak_1^2 [\lambda \cos^2 \theta + (\lambda + 2\mu) \sin^2 \theta] - \\ -2\mu Bk_2^2 \sin \gamma \cos \gamma = 0 \end{cases} \quad (13)$$

Разделим первое уравнение на k_1^2 , второе — на $k_1^2 (\lambda + 2\mu)$.

$$\begin{cases} 2A \cos \theta \sin \theta + B \frac{k_2^2}{k_1^2} (\cos^2 \gamma - \sin^2 \gamma) = 2 \cos \theta \sin \theta \\ A \left(\frac{\lambda}{\lambda + 2\mu} \cos^2 \theta + \sin^2 \theta \right) + 2 \frac{\mu}{\lambda + 2\mu} B \frac{k_2^2}{k_1^2} \sin \gamma \cos \gamma = \\ = - \left(\frac{\lambda}{\lambda + 2\mu} \cos^2 \theta + \sin^2 \theta \right) \end{cases} \quad (14)$$

Рассмотрим соотношение

$$\frac{\lambda}{\lambda + 2\mu} = \frac{\lambda + 2\mu - 2\mu}{\lambda + 2\mu} = 1 - 2 \frac{k_1^2}{k_2^2}$$

Следовательно

$$\frac{\lambda}{\lambda + 2\mu} \cos^2 \theta + \sin^2 \theta = 1 - 2 \frac{k_1^2}{k_2^2} \cos^2 \theta$$

Также

$$\cos^2 \gamma - \sin^2 \gamma = 2 \cos^2 \gamma - 1 = 2 \frac{k_1^2}{k_2^2} \cos^2 \theta - 1$$

Система (14) приобретает вид:

$$\begin{cases} 2A \cos \theta \sin \theta + B \frac{k_2^2}{k_1^2} \left(2 \frac{k_1^2}{k_2^2} \cos^2 \theta - 1 \right) = 2 \cos \theta \sin \theta \\ A \left(1 - 2 \frac{k_1^2}{k_2^2} \cos^2 \theta \right) + 2B \frac{k_1}{k_2} \cos \theta \sqrt{1 - \frac{k_1^2}{k_2^2} \cos^2 \theta} = \\ = - \left(1 - 2 \frac{k_1^2}{k_2^2} \cos^2 \theta \right) \end{cases} \quad (15)$$

Рассмотрим теперь соотношение

$$\frac{k_2^2}{k_1^2} = \frac{\rho \omega^2}{\mu} / \frac{\rho \omega^2}{\lambda + 2\mu} = \frac{\lambda + 2\mu}{\mu} = \frac{\lambda + \mu + \mu}{\mu} = \frac{\mu(1 - 2\nu)^{-1} + \mu}{\mu} = \frac{2(1 - \nu)}{1 - 2\nu}$$

Следовательно, соотношение (15) зависит только от угла θ и коэффициента Пуассона. Ниже (1) представлен график зависимости A от θ при различных значениях коэффициента Пуассона. Как видно из графика, при $\nu < \nu^*$ существует два угла θ_1, θ_2 (углы Брюстера, углы полной трансформации), при которых $A = 0$ и продольная волна при отражении полностью переходит в поперечную, при $\nu = \nu^*$ такой угол всего один и если $\nu > \nu^*$ полная трансформация места не имеет.

Рассмотрим теперь отражение поперечной волны. Предположим, что выражение для падающей волны имеет вид:

$$\begin{cases} \varphi^{(1)} = 0, \\ \psi^{(1)} = e^{ik_2(x_1 \cos \gamma + x_2 \sin \gamma)}, \end{cases} \quad (16)$$

Выражение для отражённой волны имеет вид:

$$\begin{cases} \varphi^{(2)} = Ae^{ik_1(x_1 \cos \theta - x_2 \sin \theta)}, \\ \psi^{(2)} = Be^{ik_2(x_1 \cos \gamma_1 - x_2 \sin \gamma_1)}, \end{cases} \quad (17)$$

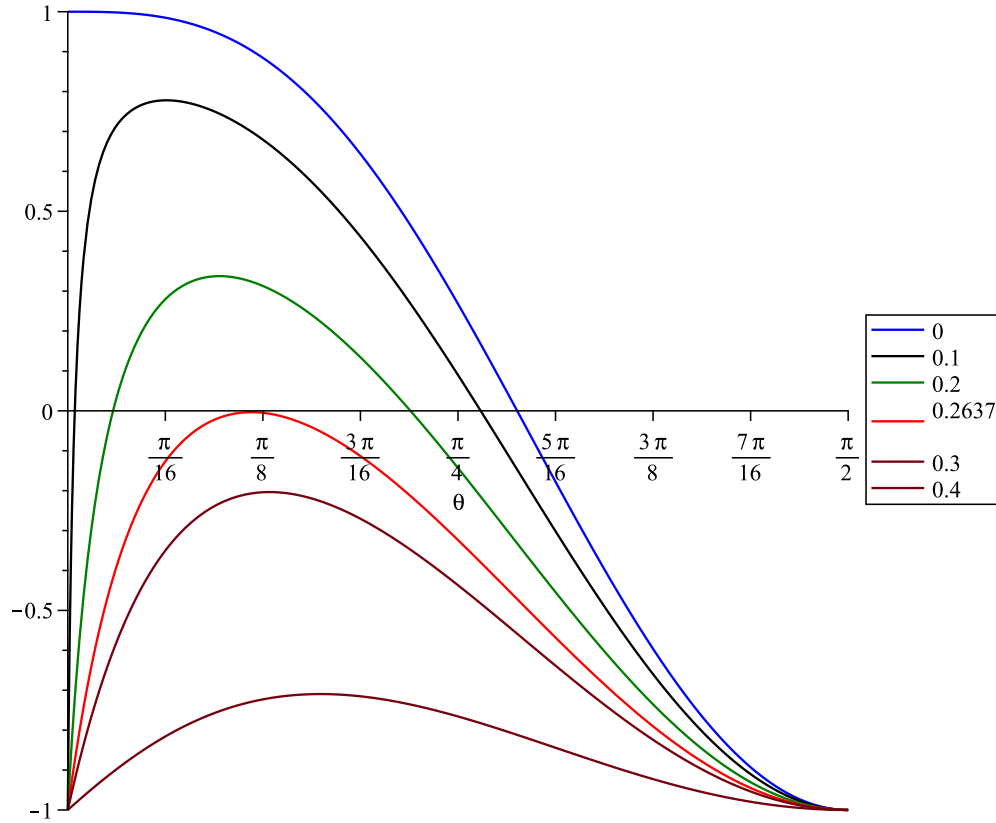


Рис. 1: A в зависимости от θ

Повторяя рассуждения, сделанные для предыдущей задачи, получаем равенство

$$ik_1x_1 \cos \theta_1 = ik_2x_1 \cos \gamma = ik_2x_1 \cos \gamma_1,$$

следовательно

$$\gamma = \gamma_1$$

и

$$\cos \theta = \frac{k_2}{k_1} \cos \gamma \quad (18)$$

Рассмотрим

$$\frac{k_2}{k_1} = \sqrt{\frac{\lambda + 2\mu}{\mu}} > 1.$$

Следовательно, (18) не всегда имеет вещественное решение и решение не при каждом значении γ может быть построено в виде плоских волн.

2 Поверхностные волны Релея

Определение Поверхностные волны — волны, амплитуда которых экспоненциально убывает с глубиной.

Рассмотрим полуплоскость $x_2 < 0$. Волновое поле имеет вид:

$$\begin{cases} u_1 = u_1(x_1, x_2; t), \\ u_2 = u_2(x_1, x_2; t), \\ u_3 = 0 \end{cases} \quad (19)$$

Волновое поле будем искать с помощью волновых потенциалов по формулам:

$$\begin{cases} u_1 = \varphi_{,1} + \psi_{,2}, \\ u_2 = \varphi_{,2} - \psi_{,1}, \end{cases} \quad (20)$$

Волновые потенциалы удовлетворяют волновым уравнениям:

$$\begin{cases} \varphi_{,11} + \varphi_{,22} = c_1^{-2} \ddot{\varphi}, \\ \psi_{,11} + \psi_{,22} = c_2^{-2} \ddot{\psi}, \end{cases} \quad (21)$$

где

$$c_1^2 = \frac{\lambda + 2\mu}{\rho}, \quad c_2^2 = \frac{\mu}{\rho}.$$

Граничные условия имеют вид:

$$\begin{cases} \sigma_{12}|_{x_2=0} = \mu (u_{1,2} + u_{2,1})|_{x_2=0} = 0 \\ \sigma_{22}|_{x_2=0} = [\lambda u_{1,1} + (\lambda + 2\mu) u_{2,2}]|_{x_2=0} = 0 \end{cases} \quad (22)$$

Решение задачи ищем в виде бегущих волн:

$$\begin{cases} \varphi = \Phi(x_2) e^{i(kx_1 - \omega t)}, \\ \psi = \Psi(x_2) e^{i(kx_1 - \omega t)} \end{cases} \quad (23)$$

Подставляем (23) в (21):

$$\begin{cases} (-k^2\Phi + \Phi'') e^{i(kx_1 - \omega t)} = -k_1^2\Phi e^{i(kx_1 - \omega t)}, \\ (-k^2\Psi + \Psi'') e^{i(kx_1 - \omega t)} = -k_2^2\Psi e^{i(kx_1 - \omega t)}, \end{cases} \quad (24)$$

где

$$k_1^2 = \frac{\omega^2}{c_1^2} = \frac{\rho\omega^2}{\lambda + 2\mu}, \quad k_2^2 = \frac{\omega^2}{c_2^2} = \frac{\rho\omega^2}{\mu}.$$

Отбросим ненулевые экспоненциальные множители и перегруппируем слагаемые:

$$\begin{cases} \Phi'' - (k^2 - k_1^2)\Phi = 0, \\ \Psi'' - (k^2 - k_2^2)\Psi = 0 \end{cases} \quad (25)$$

Строим общее решение (25), ограниченное в бесконечно удалённой точке

$$\begin{cases} \Phi = Ae^{\gamma_1 x_2}, \\ \Psi = Be^{\gamma_2 x_2}, \end{cases} \quad (26)$$

где

$$\gamma_1 = \sqrt{k^2 - k_1^2}, \quad \gamma_2 = \sqrt{k^2 - k_2^2}.$$

Найдём поле перемещений

$$\begin{cases} u_1 = (ikAe^{\gamma_1 x_2} + \gamma_2 Be^{\gamma_2 x_2}) e^{i(kx_1 - \omega t)}, \\ u_2 = (\gamma_1 Ae^{\gamma_1 x_2} - ikBe^{\gamma_2 x_2}) e^{i(kx_1 - \omega t)}, \end{cases} \quad (27)$$

Найдём напряжения при $x_2 = 0$:

$$\begin{cases} \sigma_{12}|_{x_2=0} = \mu [(ik\gamma_1 Ae^{\gamma_1 x_2} + \gamma_2^2 Be^{\gamma_2 x_2}) + \\ \quad + ik(\gamma_1 Ae^{\gamma_1 x_2} - ikBe^{\gamma_2 x_2})] e^{i(kx_1 - \omega t)}, \\ \sigma_{22}|_{x_2=0} = [ik\lambda (ikAe^{\gamma_1 x_2} + \gamma_2 Be^{\gamma_2 x_2}) + \\ \quad + (\lambda + 2\mu) (\gamma_1^2 Ae^{\gamma_1 x_2} - ik\gamma_2 Be^{\gamma_2 x_2})] e^{i(kx_1 - \omega t)}, \end{cases} \quad (28)$$

или

$$\begin{cases} \sigma_{12}|_{x_2=0} = \mu [2ik\gamma_1 A + (\gamma_2^2 + k^2) B] e^{i(kx_1 - \omega t)}, \\ \sigma_{22}|_{x_2=0} = \{[-k^2\lambda + (\lambda + 2\mu)\gamma_1^2] A - 2\mu ik\gamma_2\} e^{i(kx_1 - \omega t)}, \end{cases} \quad (29)$$

Рассмотрим выражения

$$\gamma_2^2 + k^2 = k^2 - k_2^2 + k^2 = 2k^2 - k_2^2$$

$$-k^2\lambda + (\lambda + 2\mu)\gamma_1^2 = -k^2\lambda + (\lambda + 2\mu) \left(k^2 - \frac{\rho\omega^2}{\lambda + 2\mu} \right) = 2\mu k^2 - \rho\omega^2 = \mu (2k^2 - k_2^2)$$

Граничные условия (22) приобретают после сокращения ненулевых множителей вид:

$$\begin{cases} 2ik\gamma_1 A + (2k^2 - k_2^2) B = 0, \\ (2k^2 - k_2^2) A - 2ik\gamma_2 B = 0, \end{cases} \quad (30)$$

Система (30) — однородная и имеет нетривиальные решения только если её определитель равен нулю. Это приводит к уравнению:

$$\Delta = \begin{vmatrix} 2ik\gamma_1 & 2k^2 - k_2^2 \\ 2k^2 - k_2^2 & -2ik\gamma_2 \end{vmatrix} = 4k^2\gamma_1\gamma_2 - (2k^2 - k_2^2)^2 = 0 \quad (31)$$

Заведём переменную

$$\eta = \frac{k_2^2}{k^2} = \frac{c^2}{c_2^2}$$

Рассмотрим уравнение

$$R(\eta) = \frac{\Delta}{k^4} = 4\sqrt{1 - \eta}\sqrt{1 - \theta\eta} - (2 - \eta)^2 = 0,$$

где

$$\theta = \frac{k_1^2}{k_2^2} = \frac{c_2^2}{c_1^2} < 1$$

Найдем

$$R(0) = 4 - 4 = 0,$$

$$R(1) = 0 - 1 = -1,$$

Найдём

$$R'(\eta) = -2 \left(\frac{\sqrt{1 - \theta\eta}}{\sqrt{1 - \eta}} + \theta \frac{\sqrt{1 - \eta}}{\sqrt{1 - \theta\eta}} \right) + 2(2 - \eta),$$

Следовательно

$$R'(0) = -2(1 + \theta) + 4 = 2(1 - \theta) > 0,$$

Итак, $R(0) = 0$, $R(1) = -1$ и $R'(0) > 0$, следовательно по крайней мере в одной точке $R(\eta) = 0$.

Обозначим корень через η_R .

$$\eta_R = \frac{c_R^2}{c_2^2},$$

следовательно,

$$c_R = \sqrt{\eta_R} c_2 < c_2,$$

то есть скорость поперхностной волны меньше скорости поперечной волны. Можно рассмотреть

$$\theta = \frac{k_1^2}{k_2^2} = \frac{\mu}{\lambda + 2\mu} = \frac{1 - 2\nu}{2(1 - \nu)},$$

и тогда получается, что скорость поверхностных волн зависит только от коэффициента Пуассона.

Существует приближенная формула

$$\frac{c_R}{c_2} = \frac{0,87 + 1,12\nu}{1 + \nu}$$

с погрешностью 0,3%.

Значение скорости поверхностных волн находится в отрезке $(0,8 \div 0,95)c_2$.

Рассмотрим кинематику поверхностных волн. Решение системы (30) может быть построено в виде

$$A = (2k^2 - k_2^2) D, \quad B = -2ik\gamma_1 D, \quad (32)$$

где D — произвольная вещественная константа.

Подставляем (32) в выражение для волнового поля (27):

$$\begin{cases} u_1 = ik [(2k^2 - k_2^2) e^{\gamma_1 x_2} - 2\gamma_1 \gamma_2 e^{\gamma_2 x_2}] D e^{i(kx_1 - \omega t)}, \\ u_2 = \gamma_1 [(2k^2 - k_2^2) e^{\gamma_1 x_2} - k^2 e^{\gamma_2 x_2}] D e^{i(kx_1 - \omega t)}, \end{cases} \quad (33)$$

Пусть $D = 1$. Тогда выражение для волнового поля принимает вид:

$$\begin{cases} u_1 = iR_1(x_2) e^{i(kx_1 - \omega t)}, \\ u_2 = R_2(x_2) e^{i(kx_1 - \omega t)}, \end{cases} \quad (34)$$

R_1, R_2 — вещественнозначные функции. Возьмём вещественные части выражений (34):

$$\begin{cases} \Re u_1 = -R_1(x_2) \sin(kx_1 - \omega t), \\ \Re u_2 = R_2(x_2) \cos(kx_1 - \omega t), \end{cases} \quad (35)$$

Разделим первое уравнение на $R_1(x_2)$, второе — на $R_2(x_2)$, возведём их в квадрат и сложим друг с другом:

$$\left[\frac{\Re u_1}{R_1(x_2)} \right]^2 + \left[\frac{\Re u_2}{R_2(x_2)} \right]^2 = 1 \quad (36)$$

Получаем, что уравнения траекторий частиц представляют из себя эллипсы, полуоси которых экспоненциально убывают с глубиной.

Если найти компоненты вектора Умова-Пойнтинга, то $P_2 = 0$, $P_1 \neq 0$, то есть перенос энергии происходит только в горизонтальном направлении. Львиная доля энергии волны сосредоточена в приповерхностном слое толщины $\lambda = 2\pi/k_R$.

Скорость поверхностных волн Релея не подвержена дисперсии.

Определение Говорят, что волна подвержена дисперсии, если её скорость зависит от частоты колебаний.

3 Волны Лява

3.1 Антиплоский сдвиг

Рассмотрим уравнение Ляме

$$(\lambda + 2\mu) \operatorname{grad} \operatorname{div} \underline{u} + \mu \Delta \underline{u} + \underline{F} = \rho \ddot{\underline{u}} \quad (37)$$

Предположим, что поле перемещений имеет вид:

$$\begin{cases} u_1(x_1, x_2, x_3; t) = 0, \\ u_2(x_1, x_2, x_3; t) = 0, \\ u_3(x_1, x_2, x_3; t) = u(x_1, x_2; t) \end{cases} \quad (38)$$

Найдём $\operatorname{div} \underline{u}$:

$$\operatorname{div} \underline{u} = u_{1,1} + u_{2,2} + u_{3,3} = 0$$

Подставим (38) в (37):

$$\begin{cases} F_1 = 0, \\ F_2 = 0, \\ \mu(u_{,11} + u_{,22}) + F_3 = \rho \ddot{u} \end{cases} \quad (39)$$

Два первых уравнения дают условия физической реализации: $F_1 = F_2 = 0$, третье — обычное волновое уравнение.

Рассмотрим теперь закон Гука:

$$\sigma_{ij} = \lambda \theta \delta_{ij} + 2\mu \varepsilon_{ij} = 2\mu \varepsilon_{ij} \quad (40)$$

Ненулевые компоненты тензора напряжений следующие:

$$\begin{cases} \sigma_{13} = \mu u_{,1}, \\ \sigma_{23} = \mu u_{,2} \end{cases} \quad (41)$$

Рассмотрим теперь двуслойное полупространство, состоящее из слоя $0 \leq x_1 \leq H$, где H — толщина слоя и полупространства $x_2 < 0$. Параметры слоя — λ, μ . Параметры полупространства — λ^*, μ^* . Волновое поле в слое имеет вид:

$$\begin{cases} u_1 = u_2 = 0, \\ u_3 = u(x_2)e^{i(kx_1 - \omega t)} \end{cases} \quad (42)$$

Волновое поле в полупространстве следующее:

$$\begin{cases} u_1^* = u_2^* = 0, \\ u_3^* = u^*(x_2)e^{i(kx_1 - \omega t)} \end{cases} \quad (43)$$

Уравнение для u в слое имеет вид:

$$\mu(-k^2 u + u'') = -\rho\omega^2 u \quad (44)$$

Уравнение для u^* в полупространстве следующее:

$$\mu^*[-k^2 u^* + (u^*)''] = -\rho^*\omega^2 u^* \quad (45)$$

Верхняя поверхность слоя свободна от напряжений:

$$\sigma_{23}|_{x_2=H} = 0 \quad (46)$$

Следовательно

$$\mu u'|_{x_2=H} = 0 \quad (47)$$

На границе слоя и полупространства выполняются условия сопряжения вида:

$$\begin{cases} u_3|_{x_2=0} = u_3^*|_{x_2=0}, \\ \sigma_{23}|_{x_2=0} = \sigma_{23}^*|_{x_2=0} \end{cases} \quad (48)$$

или

$$\begin{cases} u|_{x_2=0} = u^*|_{x_2=0}, \\ \mu u'|_{x_2=0} = \mu^* (u^*)'|_{x_2=0} \end{cases} \quad (49)$$

Рассмотрим уравнение (44). Перегруппируем слагаемые:

$$u'' + (k_2^2 - k^2) u = 0, \quad (50)$$

где

$$k_2^2 = \frac{\rho\omega^2}{\mu}$$

Общее решение уравнения:

$$u = A \cos \gamma x_2 + B \sin \gamma x_2, \quad (51)$$

где

$$\gamma = \sqrt{k_2^2 - k^2}.$$

Рассмотрим уравнение (44). Перегруппируем слагаемые:

$$(u^*)'' - [k^2 - (k_2^*)^2] u^* = 0, \quad (52)$$

где

$$(k_2^*)^2 = \frac{\rho\omega^2}{\mu^*}$$

Его общее решение, ограниченное в бесконечно удалённой точке:

$$u^* = C e^{\gamma^* x_2}, \quad (53)$$

где

$$\gamma^* = \sqrt{k^2 - (k_2^*)^2}.$$

Подставляем решения (51) и (53) в граничные условия (47) и (49):

$$\begin{cases} \mu\gamma(-A \sin \gamma H + B \cos \gamma H) = 0, \\ A = C, \\ \mu\gamma B = \mu^* \gamma^* C \end{cases} \quad (54)$$

Из последнего равенства получаем:

$$B = \frac{\mu^* \gamma^*}{\mu \gamma} C$$

Подставляем выражения для A и C в первое уравнение системы (54). Оно сводится к равенству:

$$\sin \gamma H = \frac{\mu^* \gamma^*}{\mu \gamma} \cos \gamma H, \quad (55)$$

или

$$\operatorname{tg} \gamma H = \frac{\mu^* \gamma^*}{\mu \gamma}, \quad (56)$$

Уравнение (56) является дисперсионным уравнением волн Лява. Раскроем радикалы

$$\operatorname{tg} \left(\sqrt{k_2^2 - k^2} H \right) = \frac{\mu^* \sqrt{k^2 - (k_2^*)^2}}{\mu \sqrt{k_2^2 - k^2}}, \quad (57)$$

Потребуем положительности подкоренных выражений:

$$k_2 > k > k_2^*$$

Отсюда получаем условие существования волн Лява:

$$c_2^* > c_2$$

Преобразуем (57):

$$\operatorname{tg} \left(\sqrt{\frac{c^2}{c_2^2} - 1} k H \right) = \frac{\mu^* \sqrt{1 - \frac{c^2}{(c_2^*)^2}}}{\mu \sqrt{\frac{c^2}{c_2^2} - 1}}, \quad (58)$$

Уравнение (58) может быть решено аналитически относительно k :

$$k = \frac{1}{H \sqrt{\frac{c^2}{c_2^2} - 1}} \left[\operatorname{arctg} \frac{\mu^* \sqrt{1 - \frac{c^2}{(c_2^*)^2}}}{\mu \sqrt{\frac{c^2}{c_2^2} - 1}} + n\pi \right], \quad n \in \mathbf{Z}$$

На рисунке 2 представлен график дисперсионных кривых для волн Лява в случае, когда материал слоя — медь и $c_2 = 2258.52$ м/с, материал полупространства — сталь и $c_2^* = 3188.52$ м/с, $H=1$ м. По горизонтальной оси откладывается параметр k , по вертикальной — c .

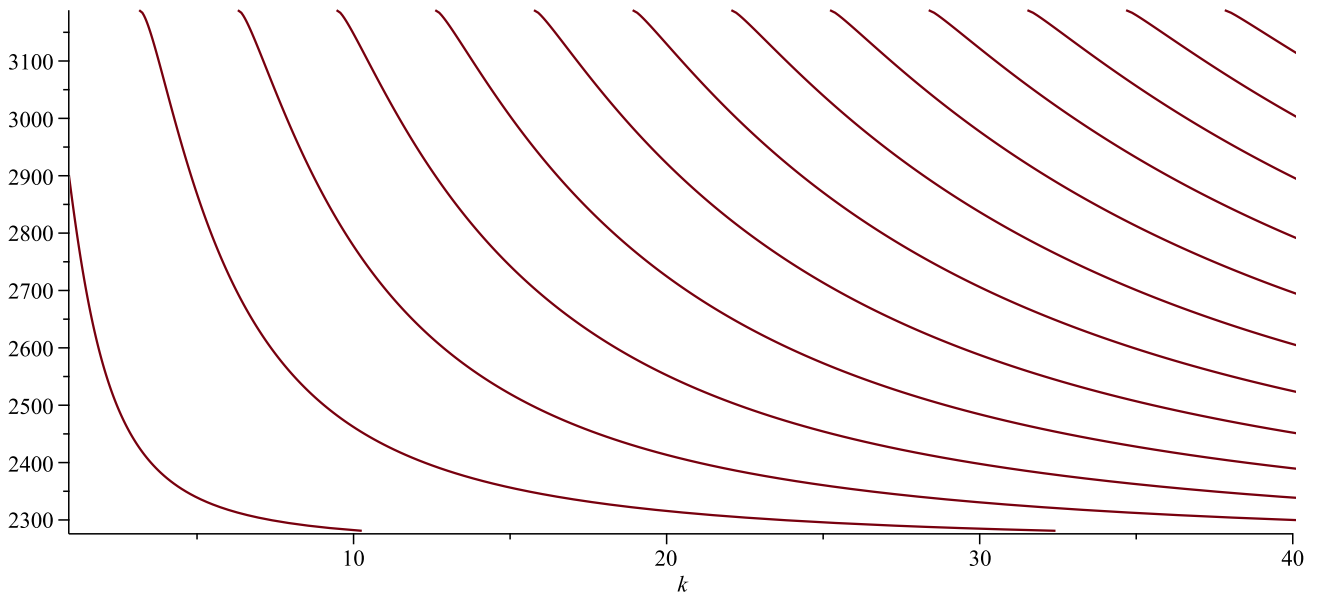


Рис. 2: Дисперсионные кривые

Все дисперсионные кривые на рисунке 2 находятся между двумя горизонтальными прямыми $c = c_2$ и $c = c_2^*$. Также дисперсионные кривые изображают в осях (ω, k) :

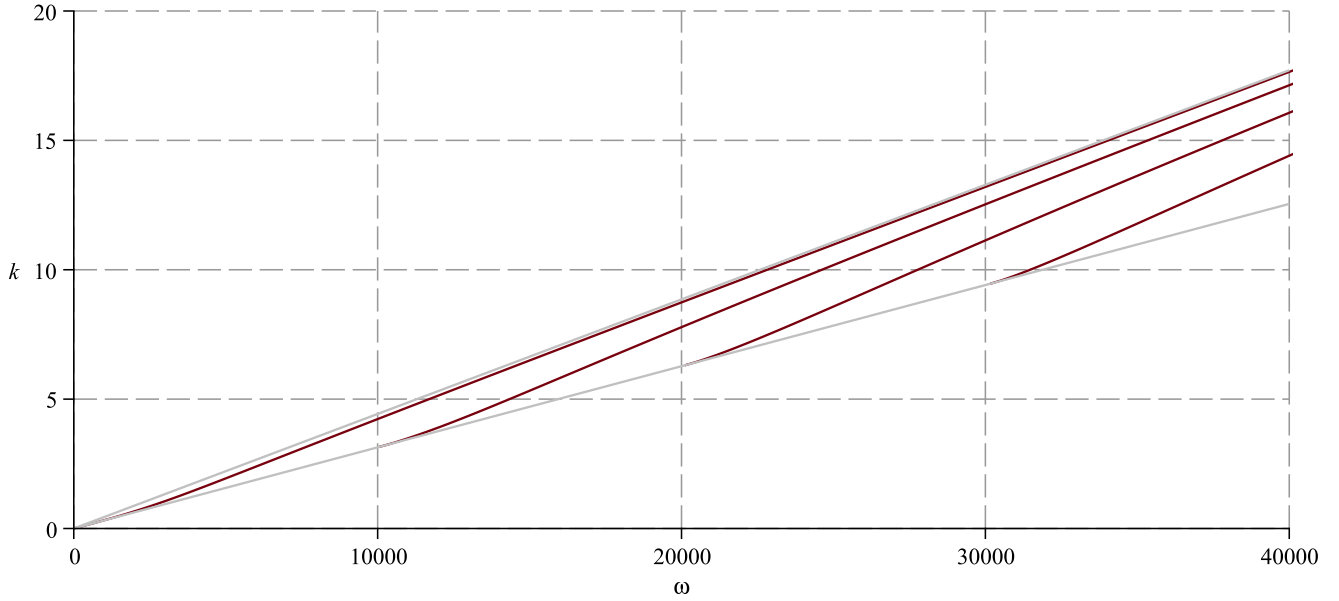


Рис. 3: Дисперсионные кривые

4 SH-колебания в слое

Рассмотрим упругий слой толщины $2H$, $-H \leq x_2 \leq H$. Границы слоя свободны от напряжений:

$$\sigma_{23}|_{x_2=\pm H} = 0 \quad (59)$$

Решение будем искать в виде бегущих волн:

$$u_3 = U(x_2)e^{i(kx_1 - \omega t)}, \quad (60)$$

Уравнение колебаний слоя имеет вид:

$$\mu(u_{3,11} + u_{3,22}) = \rho \ddot{u}_3, \quad (61)$$

где μ — модуль сдвига, ρ — плотность слоя. После подстановки (60) в (61) получаем:

$$\mu(-k^2 U + U'') e^{i(kx_1 - \omega t)} = -\rho \omega^2 U e^{i(kx_1 - \omega t)}, \quad (62)$$

Отбросим ненулевой экспоненциальный множитель и перегруппируем слагаемые:

$$U'' - (k^2 - k_2^2) U = 0. \quad (63)$$

Здесь

$$k_2^2 = \frac{\omega^2}{c_2^2} = \frac{\rho\omega^2}{\mu}$$

Граничные условия (59) принимают вид:

$$\mu U'|_{x_2=\pm H} = 0 \quad (64)$$

Общее решение (63) имеет вид:

$$U = A \operatorname{ch} \gamma x_2 + B \operatorname{sh} \gamma x_2, \quad (65)$$

где

$$\gamma = \sqrt{k^2 - k_2^2}.$$

Подставляем общее решение (65) в (64) и получаем:

$$\begin{cases} \mu\gamma (A \operatorname{sh} \gamma H + B \operatorname{ch} \gamma H) = 0, \\ \mu\gamma (-A \operatorname{sh} \gamma H + B \operatorname{ch} \gamma H) = 0 \end{cases} \quad (66)$$

Разбиваем задачу на две:

1. Симметричная задача ($A \neq 0, B = 0$).

В этом случае граничные условия сводятся к одному равенству

$$\operatorname{sh} \gamma H = 0 \quad (67)$$

Решим уравнение (67):

$$\operatorname{sh} \gamma H = i \sin i\gamma H = 0, \quad (68)$$

следовательно

$$i\gamma H = \pi n, n \in \mathbf{Z} \quad (69)$$

Делим (69) на H , умножаем на i и возводим обе части в квадрат:

$$k^2 - k_2^2 = -\left(\frac{\pi n}{H}\right)^2, n \in \mathbf{Z} \quad (70)$$

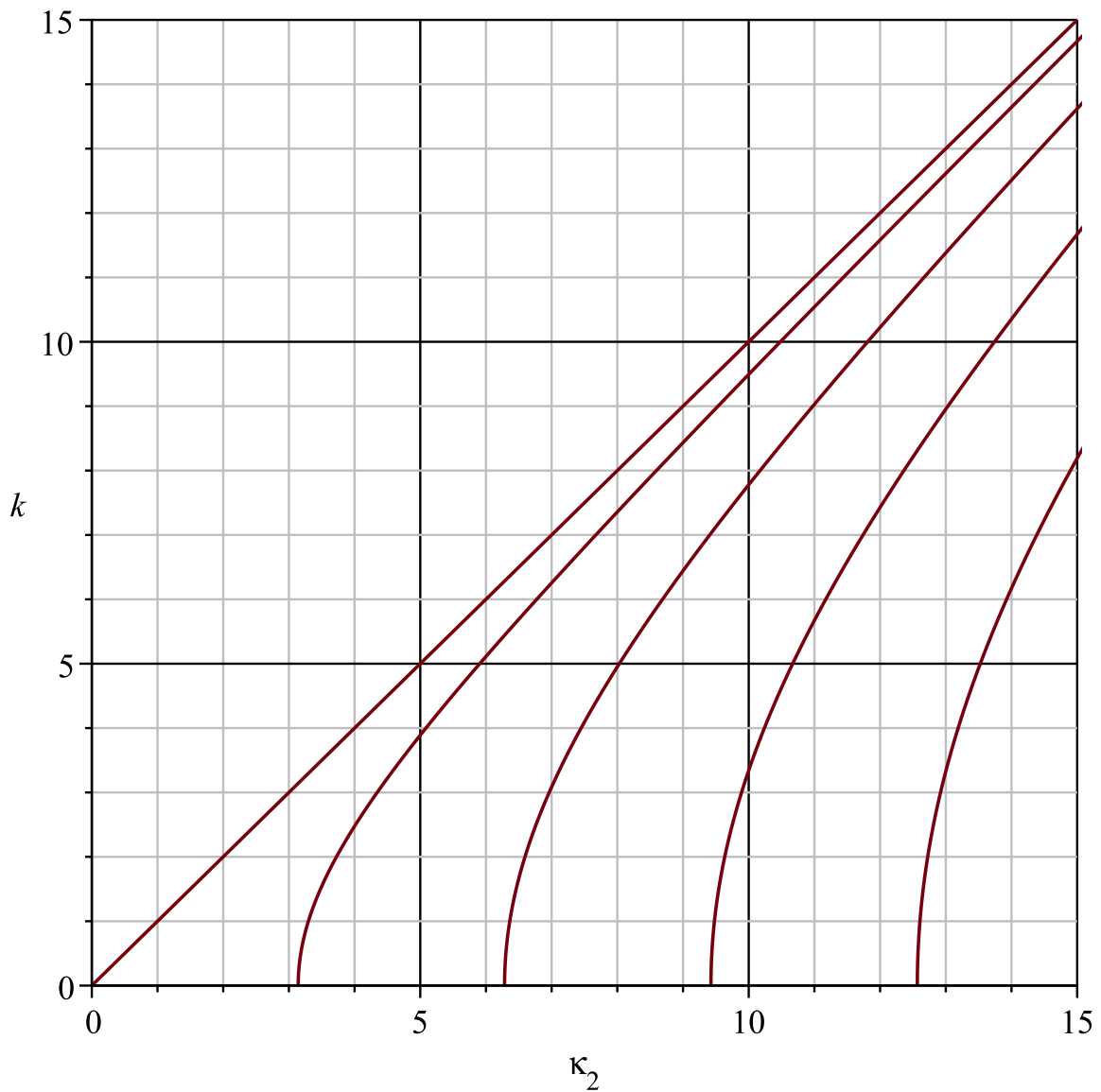


Рис. 4: График дисперсионных кривых для симметричной задачи

При $k = 0$ получаем набор корней уравнения:

$$k_2^{(n)} = \frac{\pi n}{H}, n \in \mathbf{Z}$$

или

$$\omega_n^{(1)} = \frac{\pi n c_2}{H}, n \in \mathbf{Z}$$

$\omega_n^{(1)}$ называются критическими частотами или частотами толщинного резонанса.

Уравнение (70) описывает семейство гипербол (рисунок 5).

2. Антисимметричная задача ($A = 0, B \neq 0$). В этом случае граничные условия сводятся к одному равенству

$$\operatorname{ch} \gamma H = 0 \quad (71)$$

Решим уравнение (71):

$$\operatorname{ch} \gamma H = \cos i \gamma H = 0, \quad (72)$$

следовательно

$$i \gamma H = \pi (2n + 1), n \in \mathbf{Z} \quad (73)$$

Делим (73) на H , умножаем на i и возводим обе части в квадрат:

$$k^2 - k_2^2 = - \left[\frac{\pi (2n + 1)}{2H} \right]^2, n \in \mathbf{Z} \quad (74)$$

При $k = 0$ получаем набор корней уравнения:

$$k_2^{(n)} = \frac{\pi (2n + 1)}{2H}, n \in \mathbf{Z}$$

или

$$\omega_n^{(2)} = \frac{\pi (2n + 1) c_2}{2H}, n \in \mathbf{Z}$$

— ещё одно семейство критических частот.

Уравнение (74) описывает семейство гипербол.

Определение Частные решения уравнений колебаний с однородными граничными условиями будем называть модами колебаний. Моды делятся на рас-

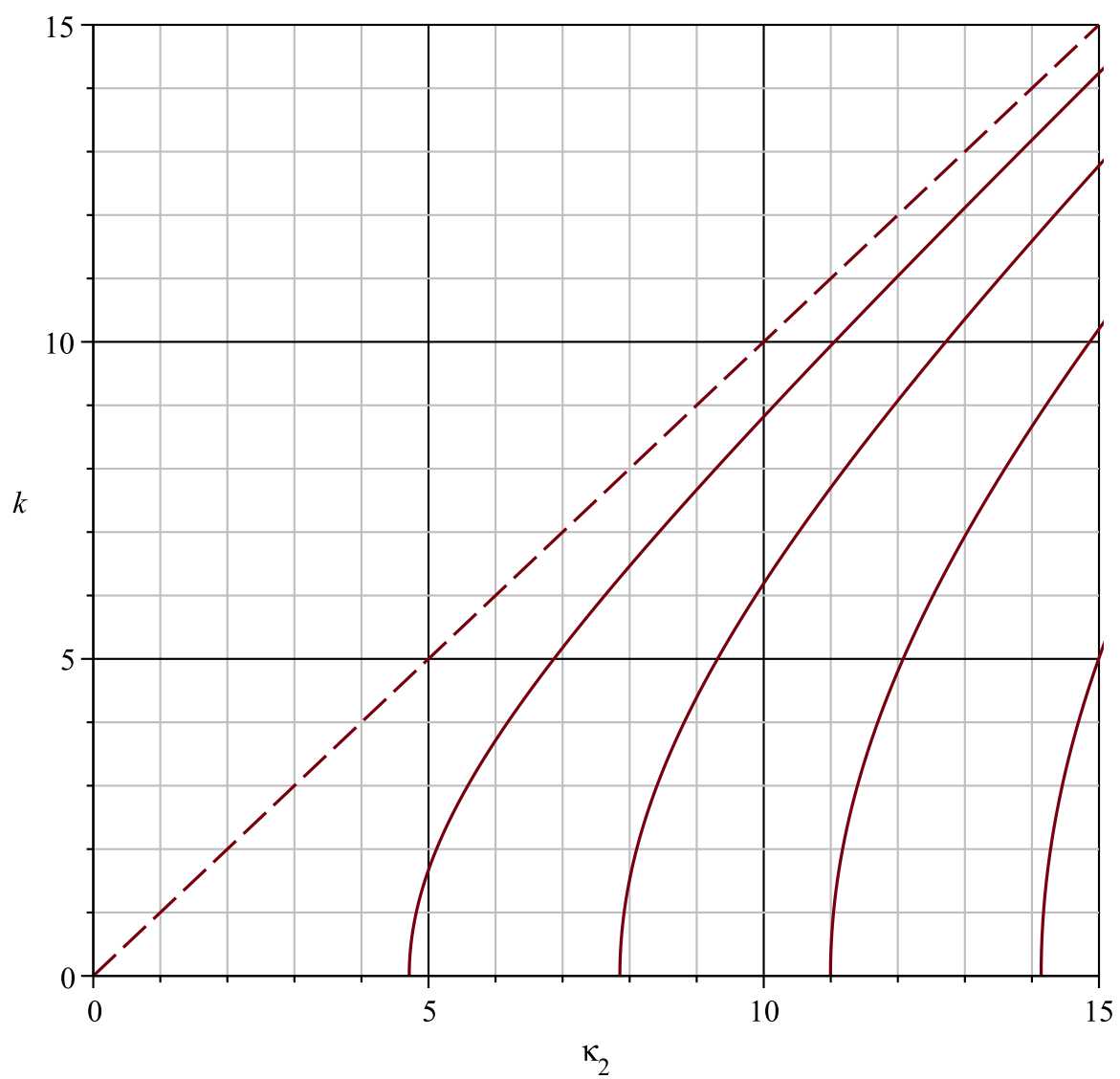


Рис. 5: График дисперсионных кривых для антисимметричной задачи

пространяющиеся и нераспространяющиеся.

Если $\omega = \text{const}$, то дисперсионные уравнения (70) и (74) определяют счётное множество значений k , из которых конечное число вещественных и бесконечное число чисто мнимых.

Если $k \in \mathbf{R}$, решение получаем в виде распространяющихся волн, если $k = i\delta$ ($\delta \in \mathbf{R}$), амплитуда экспоненциально растёт (или убывает). Те значения ω , при которых $k = 0$, называются критическими частотами (или частотами запирания, или частотами толщинных резонансов). Решение при $k = 0$ представляет собой стоячую волну. Антисимметричных бегущих волн при $\omega < \omega_1^{(2)}$ не существует.